

# การศึกษามาตรฐานในการทดสอบตัวรับรังสีแบบกลางแจ้งที่เหมาะสมสำหรับประเทศไทย

## Solar flat plate collector outdoor testing standard for Thailand.

พรพิมล เพ็ชรวัฒนา\* สมบูรณ์ คงเพชรศักดิ์\* ศิรินุช จินดารักษ์<sup>1)</sup>  
และนิพนธ์ เกตุจ้อย<sup>2)</sup>

- 1) ภาควิชาฟิสิกส์ คณะวิทยาศาสตร์ มหาวิทยาลัยนครสวรรค์
- 2) วิทยาลัยพลังงานทดแทน มหาวิทยาลัยนครสวรรค์

### บทคัดย่อ

ปัจจุบันมาตรฐานการทดสอบประสิทธิภาพตัวรับรังสีดวงอาทิตย์ยังไม่เหมาะสมกับสภาพแวดล้อมของประเทศไทย การกำหนดมาตรฐานการทดสอบมาตรฐาน SERT 2003 คือแนวทางหนึ่งในการแก้ไขปัญหาดังกล่าว เพราะมาตรฐานนี้ถูกกำหนดโดยอาศัยข้อมูลเชิงสถิติของสภาพแวดล้อมในประเทศไทย ทำให้เป็นสภาวะทดสอบที่เหมาะสมสำหรับการทดสอบภายในประเทศ การตรวจสอบผลการทดสอบตามมาตรฐาน SERT 2003 มีการควบคุมให้มีค่าใกล้เคียงกับมาตรฐานสากลพบว่าประสิทธิภาพที่ได้จากการทดสอบตามมาตรฐาน SERT 2003 แตกต่างจากมาตรฐาน ASHRAE และมาตรฐาน AUSTRALIA สูงสุดเพียง 1.2 % และ 5.1 % ตามลำดับส่งผลให้มาตรฐาน SERT 2003 เป็นมาตรฐานการทดสอบตัวรับรังสีที่เหมาะสมสำหรับประเทศไทย

### คำสำคัญ

ตัวรับรังสีแผ่นเรียบ  
การทดสอบแบบกลางแจ้ง  
สภาวะทดสอบ

### 1. บทนำ

ประเทศไทยมีศักยภาพพลังงานแสงอาทิตย์ตามบริเวณต่างๆ ค่อนข้างสูงโดยมีค่าอยู่ในช่วง 20 ถึง 24 MJ/m<sup>2</sup> – day ด้วยศักยภาพด้านพลังงานแสงอาทิตย์ที่มีค่อนข้างสูงทำให้เครื่องทำน้ำร้อนพลังงานแสงอาทิตย์ (Solar water heater) สามารถใช้ได้ดีในประเทศไทย เครื่องทำน้ำร้อนพลังงานแสงอาทิตย์ประกอบด้วยอุปกรณ์หลักสองส่วน คือ ส่วนที่ใช้กักเก็บน้ำร้อน (Storage tank) และส่วนรับรังสีดวงอาทิตย์ (Solar collector) เพื่อทำให้น้ำร้อน ดังรูปที่ 1



รูปที่ 1 เครื่องทำน้ำร้อนพลังงานแสงอาทิตย์

ปัจจุบันกระแสดิ้นตัวเกี่ยวกับการใช้เครื่องทำน้ำร้อนพลังงานแสงอาทิตย์มีมากขึ้น ธุรกิจเกี่ยวกับเครื่องทำน้ำร้อนพลังงานแสงอาทิตย์เริ่มเกิดการแข่งขัน เครื่องทำน้ำร้อนพลังงานแสงอาทิตย์แต่ละชนิดที่ออกสู่ตลาดจึงมีความหลากหลายทั้งชนิด ราคาและคุณภาพ

มาตรฐานการทดสอบจึงเป็นสิ่งสำคัญที่จะบ่งชี้ประสิทธิภาพของเครื่องทำน้ำร้อน ซึ่งมาตรฐานที่ใช้ต้องเหมาะสมและเป็นที่ยอมรับเพื่อเป็นข้อมูลสำหรับการตัดสินใจเลือกซื้อของผู้บริโภค

ปัจจุบันประเทศไทยมีมาตรฐานผลิตภัณฑ์อุตสาหกรรมสำหรับตัวรับรังสีแบบแผ่นเรียบ โดยมาตรฐานดังกล่าวจะทำการทดสอบทั้งคุณภาพของวัสดุที่นำมาใช้สร้างตัวรับรังสีว่ามีความแข็งแรงทนทานต่อสภาพอากาศของประเทศไทยหรือไม่ ส่วนการทดสอบสมรรถนะทางความร้อนจะอ้างอิงมาตรฐานการทดสอบของมาตรฐาน ASHRAE 93 เป็นหลัก เนื่องจากยังไม่มี การประกาศกำหนดการทดสอบแบบอื่นๆ แต่การทดสอบโดยใช้มาตรฐาน ASHRAE 93 ยังไม่เหมาะสมสำหรับประเทศไทย เพราะมาตรฐานนี้กำหนดขึ้นเพื่อใช้ในกลุ่มประเทศที่มีอุณหภูมิอากาศแวดล้อมเฉลี่ยค่อนข้างต่ำซึ่งแตกต่างจากประเทศไทยที่มีสภาพอากาศเป็นแบบร้อนชื้น มีอุณหภูมิอากาศแวดล้อมค่อนข้างสูงทำให้การทดสอบทำได้ยากมากในพื้นที่ของประเทศไทยเพราะไม่สามารถควบคุมสภาพทดสอบได้ตามมาตรฐานที่กำหนด ดังนั้นจึงจำเป็นต้องสร้างมาตรฐานที่เหมาะสมสำหรับประเทศไทยเพื่อใช้บ่งชี้ประสิทธิภาพของเครื่องทำน้ำร้อนพลังงานแสงอาทิตย์

#### วัตถุประสงค์ของงานวิจัย

เพื่อหามาตรฐานในการทดสอบสมรรถนะทางความร้อนของตัวรับรังสีแผ่นเรียบด้วยวิธีการทดสอบแบบกลางแจ้งที่เหมาะสมสำหรับประเทศไทย

#### ขอบเขตของงานวิจัย

การทดสอบใช้แทนทดสอบ ณ วิทยาลัยพลังงานทดแทน มหาวิทยาลัยนเรศวร ซึ่งตั้งอยู่บนเส้นละติจูด  $16^{\circ} 44'$  เหนือและลองจิจูด  $100^{\circ} 11'$  ตะวันออก

#### ประโยชน์ที่คาดว่าจะได้รับ

- 1) ทราบเงื่อนไขการทดสอบแผงรับรังสีอาทิตย์ของมาตรฐานที่เป็นที่ยอมรับได้แก่ มาตรฐาน ASHRAE 93-1986 และมาตรฐาน AUSTRALIA
- 2) มีความชำนาญในการทดสอบสมรรถนะทางความร้อนของตัวรับรังสีชนิดแผ่นเรียบแบบกลางแจ้ง
- 3) ได้มาตรฐานการทดสอบสมรรถนะทางความร้อนของตัวรับรังสีแผ่นเรียบแบบกลางแจ้งที่เหมาะสมสำหรับประเทศไทย

#### 2. ตัวรับรังสีแผ่นเรียบ

ตัวรับรังสีแบบแผ่นเรียบเป็นอุปกรณ์ที่ใช้รับรังสีดวงอาทิตย์เพื่อเปลี่ยนเป็นพลังงานความร้อนและถ่ายเทให้กับของไหลหรือสารทำงาน (Working fluid) เพื่อนำไปใช้งาน ของไหลที่ใช้โดยมากมักได้แก่น้ำหรืออากาศ ตัวรับรังสีแบบแผ่นเรียบนับเป็นอุปกรณ์ที่นิยมใช้กันแพร่หลายเมื่อเปรียบเทียบกับตัวรับรังสีแบบอื่นๆ ตัวอย่างที่เห็นโดยทั่วไปได้แก่ ระบบผลิตน้ำร้อนด้วยแสงอาทิตย์ซึ่งใช้ตัวรับรังสีแบบแผ่นเรียบเป็นตัวดูดรังสี

ตัวรับรังสีแบบแผ่นเรียบมีความเหมาะสมกับงานที่ไม่ต้องการอุณหภูมิสูงคือประมาณ  $50 - 60^{\circ}\text{C}$  ในขณะที่อากาศแวดล้อมมีอุณหภูมิระหว่าง  $10 - 30^{\circ}\text{C}$  หรืออาจสูงถึง  $80 - 90^{\circ}\text{C}$  ถ้าตัวดูดรังสีเป็นแบบผิวเลือกรังสีหรือมีแผ่นสปีดด้านบนของตัวรับรังสีมากกว่าหนึ่งชั้น แม้ว่าตัวรับรังสีแบบแผ่นเรียบจะมีข้อจำกัดด้านความไม่เหมาะสมในการใช้งานที่อุณหภูมิสูง แต่ก็มีข้อดีหลายอย่างเมื่อเปรียบเทียบกับตัวรับรังสีแบบอื่นๆ เช่น เป็นอุปกรณ์ง่าย ๆ สามารถรับได้ทั้งรังสีตรงและรังสีกระจาย ไม่ต้องมีกลไกในการบังคับให้ตัวรับรังสีหันหน้าเข้าหาดวงอาทิตย์ มีความจำเป็นในการบำรุงรักษาน้อย และที่สำคัญที่สุดคือมีความคุ้มค่าในการลงทุนติดตั้งใน

หลาย ๆ กรณีเช่นระบบผลิตน้ำร้อนสำหรับบ้านพักอาศัย เป็นต้น

แผ่นดูดรังสีส่วนใหญ่จะดูดกลืนแสงอาทิตย์และเปลี่ยนเป็นพลังงานความร้อนแล้วถ่ายเทโดยการนำจากแผ่นดูดรังสีไปยังท่อโลหะและของไหลที่ไหลอยู่ในท่อ ด้านข้างและด้านหลังของตัวรับรังสีจะมีฉนวนเพื่อลดการสูญเสียความร้อน กระฉกใสยอมให้รังสีดวงอาทิตย์ส่องผ่านและช่วยป้องกันไม่ให้รังสีความร้อน ซึ่งเป็นรังสีประเภทคลื่นยาวส่งผ่านจากตัวดูดรังสีไปยังบรรยากาศภายนอก การสูญเสียความร้อนจากตัวรับรังสีไปยังบรรยากาศภายนอกมีทั้งการนำ การพา และการแผ่รังสี ซึ่งสามารถแบ่งบริเวณที่มีการสูญเสียความร้อนเป็นสามบริเวณคือ ด้านบน ด้านหลัง และด้านข้างของตัวรับรังสี

### 3. อุปกรณ์ที่ใช้ในการทดสอบ

3.1 ใช้ระบบทดสอบตัวรับรังสีดวงอาทิตย์ ที่ตั้งอยู่ ณ วิทยาลัยพลังงานทดแทน มหาวิทยาลัยนครสวรรค์ ซึ่งสามารถใช้ทดสอบตัวรับรังสีดวงอาทิตย์แผ่นเรียบแบบกลางแจ้ง โดยระบบทดสอบสามารถแบ่งออกเป็นส่วนต่างๆ ได้ ดังนี้

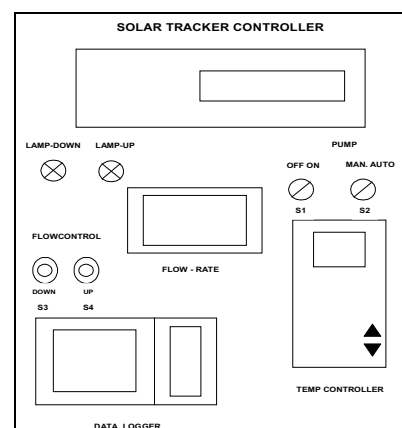
3.1.1 ส่วนควบคุมระบบ (Control system) ประกอบไปด้วย

- ปุ่มบิตปิด - เปิดหรือปุ่ม S1
- ปุ่มบิตแสดงการควบคุมระบบด้วยมือ/อัตโนมัติ (Manual /Auto) หรือปุ่ม S2
- เครื่องบันทึกข้อมูล (Data recorder) ซึ่งทำหน้าที่เก็บข้อมูลจากระบบทุกๆ 10 วินาทีแล้วแสดงผลข้อมูลออกมาที่จอแสดงผล นอกจากนี้เครื่องบันทึกข้อมูลยังมีหน่วยความจำที่สามารถเก็บข้อมูลไว้ที่ตัวเครื่องได้อีกด้วย
- ตัวควบคุมอุณหภูมิ (Temperature controller) ทำหน้าที่ควบคุมอุณหภูมิน้ำที่ไหลเข้าตัวรับรังสีดวงอาทิตย์ให้เป็นไปตามที่ผู้ใช้กำหนด

- ตัวควบคุมอัตราการไหล (Flow controller) ทำหน้าที่เป็นตัวรับคำสั่ง ถ้าต้องการเพิ่มอัตราการไหลให้กดที่ปุ่ม Down (S3) จะทำให้ไฟที่ Lamp down สว่าง และถ้าต้องการลดอัตราการไหลให้กดที่ปุ่ม Up (S4) จะทำให้ไฟที่ปุ่ม Lamp up สว่าง โดยผลของการเพิ่มหรือลดอัตราการไหลจะแสดงที่ Flow rate
- ตัวควบคุมตัวแทนทดสอบ (Solar tracker controller) ทำหน้าที่ปรับแทนทดสอบเพื่อให้ระนาบของตัวรับรังสีดวงอาทิตย์ตั้งฉากกับรังสีแสงอาทิตย์ แผ่นผังของส่วนควบคุมแสดงดังรูปที่ 2 และรูปที่ 3



รูปที่ 2 ส่วนควบคุมด้านหน้า



รูปที่ 3 แผ่นผังส่วนควบคุมด้านหน้า

3.1.2 ส่วนควบคุมน้ำ (Water controller) ประกอบไปด้วย

- ท่อน้ำที่ต่อกับท่อประปาเพื่อจ่ายน้ำเข้าสู่ถังเก็บน้ำ
- ท่อน้ำที่ต่อกับส่วนทำความเย็น (Cooling unit) เพื่อส่งน้ำจากส่วนทำความเย็นกลับมาที่ส่วนควบคุมน้ำ โดยจะจ่ายน้ำสู่ถังเก็บน้ำ
- ถังกักเก็บน้ำ (Storage tank)
- ปั๊มน้ำ (Water pump) ทำหน้าที่สูบน้ำจากถังเข้าสู่ตัวรับรังสีดวงอาทิตย์โดยผ่านเครื่องทำความร้อน
- เครื่องทำความร้อน (Heater) ทำหน้าที่ให้ความร้อนแก่น้ำเพื่อให้ได้อุณหภูมิตามที่ผู้ใช้กำหนด จากนั้นน้ำจะถูกส่งไปที่ตัวรับรังสีดวงอาทิตย์

3.1.3 แท่นทดสอบ (Test bed) ทำหน้าที่ปรับระนาบของตัวรับรังสีดวงอาทิตย์ให้ตั้งฉากกับรังสีแสงอาทิตย์ แสดงดังรูปที่ 4



รูปที่ 4 แท่นทดสอบ

3.1.4 ส่วนทำความเย็น (Cooling unit) ทำหน้าที่พักน้ำร้อนที่ไหลออกมาจากตัวรับรังสีแล้วลดอุณหภูมิให้น้ำให้

ต่ำลงก่อนส่งน้ำกลับไปยังถังกักเก็บน้ำในส่วนควบคุมน้ำ ดังแสดงในรูปที่ 5



รูปที่ 5 ส่วนทำความเย็น

3.2 ตัวรับรังสีดวงอาทิตย์ ที่ใช้กับระบบทดสอบนี้มีความยาว 1.8 m ความกว้าง 1.2 m ความหนา 0.76 m มีพื้นที่ตัวรับแสงอาทิตย์ทั้งหมด 2.16 m<sup>2</sup> พื้นที่รับแสงอาทิตย์ 2.13 m<sup>2</sup>

#### 4. กระบวนการวิจัย

4.1 ศึกษาเงื่อนไขการทดสอบ, กระบวนการทดสอบรวมถึงวิธีวิเคราะห์ผลการทดสอบและทดลองทดสอบตัวรับรังสีแผ่นเรียบตามมาตรฐาน ASHRAE 93 – 1986 และมาตรฐาน AUSTRALIA

4.2 สรุปหลักเกณฑ์ที่ใช้ทดสอบสมรรถนะทางความร้อนของตัวรับรังสีดวงอาทิตย์จากมาตรฐานทั้งสองเพื่อเป็นแนวทางในการกำหนดมาตรฐาน

4.3 ศึกษาและวิเคราะห์ข้อมูลเชิงสถิติเรื่อง อุณหภูมิอากาศ, อัตราเร็วลมและค่าความชื้นสัมพัทธ์ของ อาทิตยร่วมของประเทศไทยเพื่อใช้กำหนดเงื่อนไขการ ทดสอบตามหลักเกณฑ์ที่กำหนดไว้ใน ข้อ 4.2

4.4 กำหนดสภาวะการทดสอบสำหรับทดสอบ สมรรถนะทางความร้อนของตัวรับรังสีแผ่นเรียบแบบ กลางแจ้ง ที่เหมาะสมสำหรับประเทศไทย

4.5 ทดสอบตัวรับรังสีดวงอาทิตย์ชนิดแผ่นเรียบ แบบกลางแจ้งเพื่อหาประสิทธิภาพของตัวรับรังสีโดยใช้ สภาวะการทดสอบที่กำหนดขึ้นตามข้อ 4.4 โดยกำหนด อุณหภูมิน้ำที่ไหลเข้าตัวรับรังสีคือ 10 °C, 15 °C, 20 °C, 25 °C, 30 °C, 35 °C และ 40 °C

4.6 ทดสอบตัวรับรังสีดวงอาทิตย์ชนิดแผ่นเรียบ แบบกลางแจ้งเพื่อหาประสิทธิภาพของตัวรับรังสีโดยใช้ มาตรฐาน ASHRAE 93 – 1986 และมาตรฐาน AUSTRALIA เพื่อเปรียบเทียบผลการทดสอบกับ มาตรฐานที่กำหนดขึ้น โดยกำหนดอุณหภูมิน้ำที่ไหลเข้า ตัวรับรังสีค่าเดียวกัน

#### วิเคราะห์ผลการทดสอบ

- นำข้อมูลที่ได้ มาคำนวณหาประสิทธิภาพของ ตัวรับรังสี
- แสดงผลการทดสอบโดยกราฟ
- เปรียบเทียบประสิทธิภาพที่ได้จากการทดสอบใน แต่ละมาตรฐานเพื่อกำหนดมาตรฐาน SERT 2003

4.7 สรุปผลการหามาตรฐานการทดสอบตัวรับ รังสีอาทิตย์แบบกลางแจ้งที่เหมาะสมสำหรับประเทศไทย

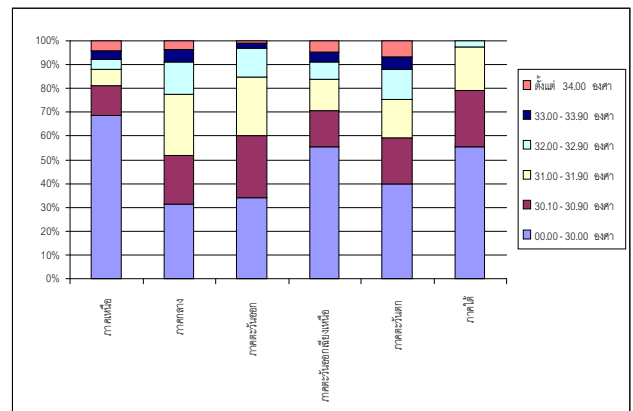
### 5. ผลการศึกษาข้อมูลด้านสภาพแวดล้อมของ ประเทศไทย

การกำหนดสภาวะทดสอบของการทดลอง ศึกษาศึกษาจากสถิติของอุณหภูมิอากาศแวดล้อม, ความชื้น แสงอาทิตย์และอัตราเร็วลม จากสถานีตรวจวัดต่าง ๆ ทั่ว ทุกภูมิภาคของประเทศไทย ซึ่งได้ศึกษาข้อมูล 10 ปีตั้งแต่

ปีพ.ศ. 2529–2538 จาก [www.teenet.chula.ac.th](http://www.teenet.chula.ac.th) โดย กำหนดให้มีความถี่ไม่น้อยกว่าร้อยละ 80 พบว่า

#### 5.1 ด้านอุณหภูมิอากาศแวดล้อม

อุณหภูมิอากาศแวดล้อมในทุกภูมิภาคของ ประเทศไทยแสดงในรูปที่ 6 พบว่าอยู่ในช่วง 0 – 33 °C แต่เนื่องจากในระหว่างการทดสอบตัวรับรังสีดวงอาทิตย์ อุณหภูมิของอากาศแวดล้อมระหว่างการทดสอบสามารถ แปรค่าได้สูงสุด  $\pm 1$  °C (อ้างอิงตามมาตรฐาน ASHRAE 93 – 1986) เพราะฉะนั้นอุณหภูมิอากาศแวดล้อมสูงสุดใน ระหว่างการทดสอบตัวรับรังสีดวงอาทิตย์จึงควรกำหนดให้ มีค่าไม่เกิน 34 °C

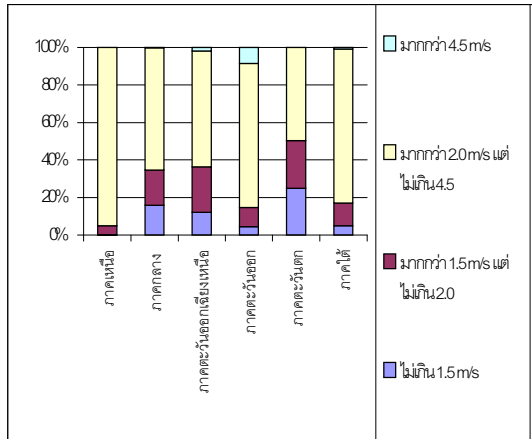


รูปที่ 6 กราฟแสดงความถี่ของการพบอุณหภูมิอากาศ แวดล้อมในช่วงต่างๆ

#### 5.2 ด้านอัตราเร็วลม

จากการศึกษาวิเคราะห์อัตราเร็วลมของประเทศไทยพบว่าอัตราเร็วลมระหว่างทดสอบต้องมีค่าระหว่าง 1.5 ถึง 4.0 m/s เพราะความถี่ในการพบอัตราเร็วลมในช่วงนี้มีถึง 82 % และเมื่อพิจารณาความถี่ของการพบ อัตราเร็วลมช่วงดังกล่าวในแต่ละภูมิภาค จะมีความถี่ในการพบเป็นดังนี้ ภาคตะวันออกและภาคตะวันตก 81 % ภาคกลาง 82% ภาคตะวันออกเฉียงเหนือ 86% ภาคใต้ 90 % และภาคเหนือพบสูงสุด 99 % (ดังรูปที่ 7) จะเห็น ได้ว่าอัตราเร็วลมช่วงดังกล่าวเหมาะสมกับประเทศไทย

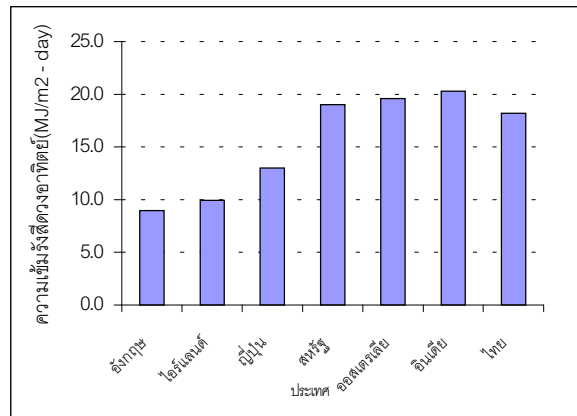
เนื่องจากถ้ากำหนดสภาวะทดสอบตามสภาวะดังกล่าว การทดสอบตัวรับรังสีในประเทศไทยจะกระทำได้ดีในทุกภูมิภาคของประเทศไทย ทำให้สะดวกและเหมาะสมในการทดสอบ



รูปที่ 7 กราฟแสดงความถี่ที่พบอัตราเร็วลมเฉลี่ยค่าต่างๆ ของประเทศไทยจำแนกตามภูมิภาค

### 5.3 ด้านความเข้มรังสีดวงอาทิตย์

เนื่องจากศักยภาพพลังงานแสงอาทิตย์ของประเทศไทยมีค่าค่อนข้างสูงและใกล้เคียงกับประเทศสหรัฐอเมริกาและออสเตรเลียแสดงดังรูปที่ 8 ดังนั้นการกำหนดค่ารังสีดวงอาทิตย์รวมในการทดสอบจึงควรกำหนดให้สอดคล้องกับมาตรฐานของประเทศสหรัฐอเมริกาและออสเตรเลียเพื่อความสะดวกในการเปรียบเทียบประสิทธิภาพที่ได้จากการทดสอบตัวรับรังสีดวงอาทิตย์นั้นคือค่ารังสีดวงอาทิตย์ในการทดสอบควรมีค่าไม่ต่ำกว่า  $790 \text{ W/m}^2$  และแปรค่าได้ไม่เกิน  $32 \text{ W/m}^2$



รูปที่ 8 กราฟแสดงการเปรียบเทียบค่ารังสีดวงอาทิตย์ของประเทศไทยกับต่างประเทศ

### 5.4 การกำหนดเงื่อนไขของมาตรฐาน SERT 2003

5.4.1 เครื่องมือทดสอบและความถูกต้องแม่นยำในการเก็บข้อมูล (อ้างอิงตามมาตรฐาน ASHRAE 93 – 1986)

#### 5.4.2 เงื่อนไขในการทดสอบ

- **อุณหภูมิหน้าเข้า** ต้องมีแปรค่าไม่เกิน  $\pm 1 \text{ }^\circ\text{C}$  (อ้างอิงตามมาตรฐาน ASHRAE 93 – 1986)
- **อุณหภูมิแวดล้อม** ต้องเป็นค่าคงที่และต้องมีค่าไม่เกิน  $34 \text{ }^\circ\text{C}$  โดยค่าที่ถูกเลือกเพื่อใช้ทดสอบจะแปรค่าได้ไม่เกิน  $1 \text{ }^\circ\text{C}$  (อ้างอิงตามหัวข้อ 5.1)
- **ค่ารังสีดวงอาทิตย์รวม** ต้องเป็นค่าคงที่และต้องมีค่าไม่น้อยกว่า  $790 \text{ W/m}^2$  โดยค่าที่ถูกเลือกเพื่อใช้ทดสอบจะแปรค่าได้ไม่เกิน  $32 \text{ W/m}^2$  (อ้างอิงตามมาตรฐาน ASHRAE 93 – 1986)
- **อัตราเร็วลม** ต้องมีค่าคงที่และต้องอยู่ในช่วง 1.5 ถึง 4.0 m/s โดยค่าที่ถูกเลือกเพื่อใช้ทดสอบจะแปรค่าได้ไม่เกิน  $\pm 0.5 \text{ m/s}$  (อ้างอิงตามหัวข้อ 5.2)
- **การวัดความดัน** การวัดความดันในตัวรับรังสีแบบใช้น้ำค่าความดันตรงทางเข้าตัวรับรังสีและความดันที่เปลี่ยนไปเมื่อผ่านตัวรับรังสีจะต้องมีความ

คลาดเคลื่อนไม่เกิน 3.5 kPa หรือ 0.5 psi (อ้างอิงตามมาตรฐาน ASHRAE 93 – 1986)

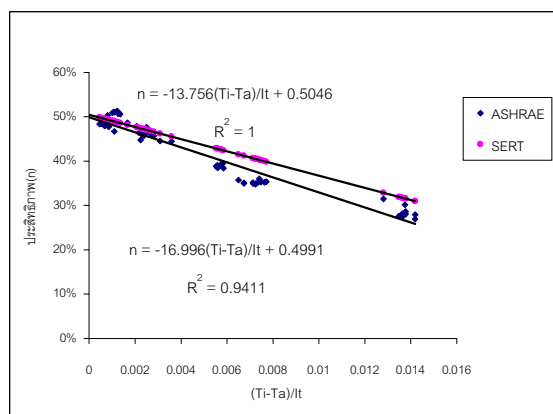
5.5 การเปรียบเทียบผลการทดสอบระหว่างมาตรฐาน SERT 2003 กับมาตรฐาน ASHRAE 93 – 1986 ภายใต้เงื่อนไขการคำนวณเดียวกัน พบว่ามีความสัมพันธ์ดังสมการ

$$\eta_s = 1.235\eta_{ash} - 0.111 \quad (1)$$

เมื่อ  $\eta_s$  คือประสิทธิภาพที่ได้จากมาตรฐาน SERT 2003

$\eta_{ash}$  คือประสิทธิภาพที่ได้จาก ASHRAE 93 – 1986

จากสมการ (1) ที่จุด  $T_i = T_a$  ซึ่งเป็นจุดที่ประสิทธิภาพของตัวรับรังสีดวงอาทิตย์มีค่าสูงสุดพบว่า  $\eta_{ash}$  มีค่าเท่ากับ 0.4991 ขณะที่  $\eta_s$  มีค่า 0.5053 แสดงว่าค่าประสิทธิภาพที่ได้จากมาตรฐานทั้งสองมีค่าต่างกันอยู่ 0.0062 และค่าความแตกต่างสูงสุดระหว่าง  $\eta_s$  และ  $\eta_{ash}$  มีค่าต่างกันร้อยละ 1.2

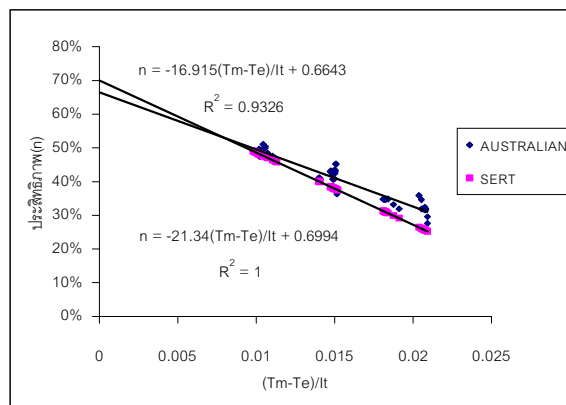


รูปที่ 9 กราฟแสดงการเปรียบเทียบประสิทธิภาพของตัวรับรังสีดวงอาทิตย์ตามมาตรฐาน SERT 2003 กับมาตรฐาน ASHRAE 93 – 1986

5.6 การเปรียบเทียบผลการทดสอบระหว่างมาตรฐาน SERT 2003 กับมาตรฐาน AUSTRALIA ภายใต้เงื่อนไขการคำนวณเดียวกัน พบว่ามีความสัมพันธ์ดังสมการ

$$\eta_s = 1.261\eta_{aus} - 0.138 \quad (2)$$

เมื่อ  $\eta_{aus}$  คือประสิทธิภาพที่ได้จากมาตรฐาน AUSTRALIA ที่จุด  $T_m = T_c$  ซึ่งเป็นจุดที่ประสิทธิภาพของตัวรับรังสีดวงอาทิตย์มีค่าสูงสุดพบว่า  $\eta_{aus}$  มีค่าเท่ากับ 0.6643 ขณะที่  $\eta_s$  มีค่า 0.6994 แสดงว่าค่าประสิทธิภาพที่ได้จากมาตรฐานทั้งสองมีค่าต่างกันอยู่ 0.0351 และค่าความแตกต่างสูงสุดระหว่าง  $\eta_s$  และ  $\eta_{aus}$  มีค่าต่างกันร้อยละ 5.1



รูปที่ 10 กราฟแสดงการเปรียบเทียบประสิทธิภาพของตัวรับรังสีดวงอาทิตย์ตามมาตรฐาน SERT 2003 กับมาตรฐาน AUSTRALIA

## 6. สรุปผลการวิจัย

การทดสอบประสิทธิภาพตัวรับรังสีอาทิตย์ตามมาตรฐาน SERT มีข้อกำหนดดังนี้

1. อุณหภูมิแวดล้อมต้องมีค่าไม่เกิน  $34\text{ }^{\circ}\text{C} \pm 1\text{ }^{\circ}\text{C}$
2. อุณหภูมิน้ำไหลเข้าขณะทดสอบต้องมีค่าคงที่และแปรค่าไม่เกิน  $1\text{ }^{\circ}\text{C} (\pm 1\text{ }^{\circ}\text{C})$

3. ค่ารังสีดวงอาทิตย์รวม ต้องมีค่าคงที่และมีค่าไม่น้อยกว่า  $790 \text{ W/m}^2$  ระหว่างทดสอบสามารถแปรค่าไม่เกิน  $32 \text{ W/m}^2 (\pm 32 \text{ W/m}^2)$

4. อัตราเร็วลมขณะทดสอบต้องมีค่าคงที่ และอยู่ในช่วง  $1.5 \pm 4.0 \text{ m/s}$  ระหว่างทดสอบสามารถแปรค่าไม่เกิน  $0.5 \text{ m/s} (\pm 0.5 \text{ m/s})$

5. อัตราการไหลของน้ำต้องคงที่ และแปรค่าได้ไม่เกิน  $\pm 1\%$  ในหน่วย  $\text{kg/s}$

ผลการเปรียบเทียบประสิทธิภาพที่ได้จากการทดสอบตามมาตรฐาน SERT 2003 มาตรฐาน ASHRAE 93 – 1986 และมาตรฐาน AUSTRALIA พบว่าประสิทธิภาพที่ได้จากมาตรฐาน SERT 2003 มีค่าแตกต่างกับมาตรฐาน ASHRAE และมาตรฐาน AUSTRALIA มากที่สุดไม่ถึงร้อยละ 4 ซึ่งจะเห็นได้ว่ามาตรฐาน SERT 2003 สอดคล้องกับมาตรฐานสากลภายใต้เงื่อนไขการทดสอบที่กระทำได้สะดวกในประเทศไทย จึงทำให้มาตรฐาน SERT 2003 เป็นมาตรฐานที่เหมาะสมในการทดสอบเพื่อหาประสิทธิภาพของตัวรับรังสีแบบกลางแจ้งสำหรับประเทศไทย

### กิตติกรรมประกาศ

คณะผู้วิจัยขอขอบคุณวิทยาลัยพลังงานทดแทน (SERT) ซึ่งให้การสนับสนุนในด้านอุปกรณ์และเครื่องมือต่างๆ ตลอดจนอนุเคราะห์ให้ใช้ระบบทดสอบ ขอขอบคุณสำนักงานกองทุนสนับสนุนการวิจัย ฝ่ายอุตสาหกรรม โครงการโครงการอุตสาหกรรมสำหรับระดับปริญญาตรี ด้านเงินทุนสำหรับผู้วิจัย ขอขอบคุณมหาวิทยาลัยนเรศวร คณะวิทยาศาสตร์ ภาควิชาฟิสิกส์ และกรมอุตุนิยมวิทยา กรุงเทพมหานคร ที่ได้ให้ความอนุเคราะห์ด้านข้อมูล และให้ความสะดวกในการดำเนินโครงการ ขอขอบคุณ ดร.ศิรินุช จินดารักษ์ และอาจารย์นิพนธ์ เกตุจ้อย ที่ให้ความช่วยเหลือและให้คำปรึกษาอย่างดียิ่งตั้งแต่เริ่มจนกระทั่งสิ้นสุดโครงการ

### เอกสารอ้างอิง

ชยันต์ บุญยรักษ์และคณะ, ลักษณะทางสถิติของรังสีแสงอาทิตย์ของจังหวัดพิษณุโลก, มหาวิทยาลัยนเรศวร, พิษณุโลก 2538

ทงเกียรติ เกียรติศิริโรจน์, อนุกรมพลังงานนอกแบบและการใช้พลังงานอย่างมีประสิทธิภาพ เล่มที่ 1 การแผ่รังสีดวงอาทิตย์, สถาบันเทคโนโลยีพระจอมเกล้าธนบุรี, กรุงเทพฯ ฯ, หน้า 2/1–2/59, 2531

ศูนย์วิจัยและฝึกอบรมพลังงานแสงอาทิตย์, รายงานผลการทดสอบเครื่องทำน้ำร้อนพลังงานแสงอาทิตย์ มหาวิทยาลัยนเรศวร

อาทิตย์ เสมอเชื้อ และสุภาวดี ทิมทอง, การศึกษาความเร็วลมและทิศทางลมในจังหวัดพิษณุโลก, มหาวิทยาลัยนเรศวร, พิษณุโลก 2540

ASHRAE STANDARD 93-1986, Method of testing to determine the thermal performance of solar collectors, 1986.